

基于S型传递函数的二进制乌鸦搜索算法求解0-1背包问题

高泽贤^{1,2}, 张寒崧^{1,2}, 孙菲^{1,2}, 王丽娜^{1,2}

¹河北地质大学信息工程学院, 河北 石家庄

²河北地质大学大数据与计算智能实验室, 河北 石家庄

收稿日期: 2023年3月22日; 录用日期: 2023年4月21日; 发布日期: 2023年4月28日

摘要

基于传递函数, 我们提出了一种新的二进制乌鸦搜索算法(BCSA)来求解0-1背包问题(0-1KP), 它不仅保留了原有乌鸦搜索算法良好的探索能力, 而且具有良好的开发能力。充分利用修复优化方法处理不可行解, 在提升算法搜索能力的同时, 也加快了算法的收敛速度。为验证BCSA求解0-1KP的性能, 将其计算结果与七种不同算法的计算结果进行了比较, 发现BCSA的求解精度高、算法稳定性良好, 非常适合用来处理大规模0-1KP实例。

关键词

演化算法, 乌鸦搜索算法, 转换函数, 0-1背包问题

Binary Crow Search Algorithm Based on S-Type Transfer Function for Solving 0-1 Knapsack Problem

Zexian Gao^{1,2}, Hansong Zhang^{1,2}, Fei Sun^{1,2}, Li'na Wang^{1,2}

¹College of Information Technology, Hebei GEO University, Shijiazhuang Hebei

²College of Big Data & Computing Intelligence Laboratory, Hebei GEO University, Shijiazhuang Hebei

Received: Mar. 22nd, 2023; accepted: Apr. 21st, 2023; published: Apr. 28th, 2023

Abstract

Based on the transfer function, we propose a new Binary Crow Search Algorithm (BCSA) for solving

文章引用: 高泽贤, 张寒崧, 孙菲, 王丽娜. 基于S型传递函数的二进制乌鸦搜索算法求解0-1背包问题[J]. 计算机科学与应用, 2023, 13(4): 915-922. DOI: 10.12677/csa.2023.134089

the 0-1 Knapsack Problem (0-1KP). It not only retains the good exploration ability of the original crow search algorithm, but also has good development ability. Making full use of repair optimization methods to handle infeasible solutions improves the search ability of the algorithm while also accelerating its convergence speed. In order to verify the performance of BCSA in solving 0-1KP, its calculation results were compared with those of seven different algorithms. It was found that BCSA has high resolution and good algorithm stability, and is very suitable for processing large-scale 0-1KP instances.

Keywords

Evolutionary Algorithm, Crow Search Algorithm, Conversion Function, 0-1 Knapsack Problem

Copyright © 2023 by author(s) and Hans Publishers Inc.

This work is licensed under the Creative Commons Attribution International License (CC BY 4.0).

<http://creativecommons.org/licenses/by/4.0/>



Open Access

1. 引言

背包问题(Knapsack Problem, KP) [1]是一种重要的组合优化问题,同时也是一类经典的 NP 完全问题。它在诸多领域具有广泛的应用价值,例如:资金预算、资源分配、装载问题、分布式系统、能量最小化等[2] [3] [4]。0-1KP 问题是一种最基本的背包问题,属于 NP 类型的难题。0-1KP 可以概括为:在满足背包装重限制的条件下,从多个具有价值系数和重量系数的物品中有选择地装入背包,以达到价值系数之和最大化。

目前,求解 0-1 背包问题的方法大体可分为精确求解法[5]和近似求解法两类。尽管精确算法的解的准确度很高,但是它的时间复杂度却属于伪多项式。随着 0-1KP 实例规模的增大,求解效率会越来越差。因此,在求解较大规模的 0-1KP 实例时,精确算法就不是最佳选择。非精确算法,特别是演化算法,可以有效缓解精确算法的局限性。在既要满足计算精度好,又要满足求解速度快的条件下,演化算法在求解 0-1KP 问题上受到了较高的认可[1]。

乌鸦搜索算法(CSA)是由 Askarzadeh [6]根据乌鸦的觅食行为提出的。乌鸦是一种拥有记忆力的群居鸟类,它们聪明灵巧,能将多余的食物藏起来,而且能够把藏起来的食物的最佳位置(Memory, M)牢牢记在脑海里。自 CSA 的提出以来,由于其控制参数少且易于实现等优点,在各个领域中获得了广泛应用。本文提出了一种应用于解决 0-1KP 问题的二进制乌鸦搜索算法,它在传统乌鸦搜索算法的基础上,采用传递函数进行离散化处理,进而通过实验与 7 种演化算法比较,证明了该算法求解此类实例的有效性。

2. 相关背景

2.1. KP 的定义与数学模型

0-1KP 的定义:给定 n 个物品的集合 $N = \{1, 2, \dots, n\}$ 和一个背包容量为 C 的背包,每一种物品 i 都有两个基本属性:价值属性和重量属性。物品的重量集合为 $W = \{w_1, w_2, \dots, w_n\}$, 价值集合为 $P = \{p_1, p_2, \dots, p_n\}$ 。故将 0-1 背包问题的数学模型描述如下:

$$\max f(x) = \sum_{i=1}^n p_i x_i \quad (1)$$

$$\text{s.t. } \sum_{i=1}^n w_i x_i \leq C \quad (2)$$

$$x_i \in \{0,1\}, i=1,2,\dots,n \quad (3)$$

当 $x_i = 1$ 时, 表示第 i 项放入背包; 当 $x_i = 0$ 时, 表示第 i 项未被选取放入背包。

2.2. 乌鸦搜索算法

乌鸦是一种有着群居生活习性的鸟类, 它们拥有聪明的头脑, 能够记忆存储信息。从算法的角度来看, 乌鸦代表搜索者, 乌鸦种群的整个飞行区域代表搜索空间, 每一只乌鸦的位置代表一个可行解。乌鸦位置的好坏, 通过目标函数值来判断, 环境中的最佳食物来源即为全局最优解。

为了便于阐述如何利用乌鸦搜索算法 CSA 求解连续优化问题, 不失一般性, 设 $\max f(X)$, $X \in [lb, ub]^d$ 是最小数值优化问题。其中, lb 和 ub 是个体 X 中每一维度分量的下界和上界。下面将对 CSA 的算法原理[7]进行详细介绍。

假设乌鸦的种群规模为 N , 最大迭代次数为 MIT , 问题的维度为 d ; 第 t 次迭代时, $X^{i,t} = [x_1^{i,t}, x_2^{i,t}, \dots, x_d^{i,t}]$ 表示为乌鸦 i 的当前位置一个位置向量, 其中 $i=1,2,\dots,N$; $t=1,2,\dots,MIT$ 。每一只乌鸦所找到的历史最优位置称为记忆位置。 $AP^{i,t}$ 表示在第 t 次迭代乌鸦 i 的感知概率; $fl^{i,t}$ 表示第 t 次迭代时乌鸦 i 的飞行长度。乌鸦 i 会随机选择一只乌鸦 j 进行跟随, 此时乌鸦 j 感到一定的威胁, 通过引入感知概率来保护自己的食物被窃取。

CSA 中的位置更新方式分为两种: 当迭代时的发现概率小于感知概率时, 即乌鸦 j 没有发现被乌鸦 i 跟踪, 此时乌鸦 i 的位置更新公式为:

$$x_{ik}(t+1) = x_{ik}(t) + rand \times fl \times (m_{jk}(t) - x_{ik}(t)) \quad (4)$$

其中, $x_{ik}(t+1)$ 表示第 i 只乌鸦在当前迭代第 k 个维度时的位置, fl 为乌鸦飞行长度, $m_{jk}(t)$ 表示第 j 只乌鸦在第 k 维度的记忆值, $rand$ 表示是服从均匀分布的 $[0, 1]$ 中的随机数。当迭代时的发现概率大于感知概率时, 即乌鸦 j 发现了乌鸦 i 跟踪它, 那么乌鸦 j 就会把乌鸦 i 愚弄到搜索空间中的一个任意位置, 以保证自己的食物不被窃取。此时乌鸦的位置更新公式为:

$$x_{ik}(t+1) = rand \times (ub - lb) + lb \quad (5)$$

综上所述, 位置更新公式为:

$$x_{ik}(t+1) = \begin{cases} x_{ik}(t) + rand \times fl \times (m_{jk}(t) - x_{ik}(t)), & r_j \geq AP \\ rand \times (ub - lb) + lb, & r_j < AP \end{cases} \quad (6)$$

当乌鸦的位置发生改变时, 采用如下方式对乌鸦的记忆进行更新:

$$M_i(t+1) = \begin{cases} X_i(t+1), & f(X_i(t+1)) < f(M_i(t)) \\ M_i(t), & \text{其他} \end{cases} \quad (7)$$

3. 二进制乌鸦搜索算法

原始的 CSA 算法是针对实数域上的连续优化问题提出来的, 而求解 0-1KP 问题是组合优化问题, 需要将实数域转化为离散域, 因此本文采用传递函数进行离散化处理。常见的主流传递函数有 S 型和 V 型, 本文使用 S_3 (如公式(8)所示), 用于解决乌鸦搜索算法的离散化问题。

$$S_3(x) = \frac{1}{1 + e^{-\frac{x}{2}}} \quad (8)$$

二进制乌鸦搜索算法(BCSA)是在基于 CSA 的基础上展开的,上节已经给出,本节不再赘述。现给出 BCSA 的伪代码。

设 $\max f(X)$, $X \in [0,1]^d$ 是最小数值优化问题,参数 d 、 N 、 MIT 含义同上,不再重复。感知概率 $AP = 0.1$,飞行长度 $fl = 2$, $rand[1, N]$ 是随机选 1 到 N 之间的一个整数, $B = (b_1, b_2, \dots, b_n) \in [0,1]^d$ 表示 BCSA 的最优个体,则将 BCSA 算法伪代码描述如下。

算法 1 BCSA

输入: $\max f(X)$ 实例, 参数 d 、 N 、 MIT 、 AP 、 fl 。

输出: 最优个体 B 以及目标函数值 $f(B)$ 。

- 1 随机初始化种群 $P(0) = \{X_i(0) = (x_{i1}(0), x_{i2}(0), \dots, x_{id}(0)) | 1 \leq i \leq N\}$, $x_{ij}(0) \in [0,1]$;
- 2 GROA 处理后, 计算 $f(X_i(0))$ 用于评价个体 $X_i(0)$, $1 \leq i \leq N$, 确定最优个体 B ;
- 3 初始化 $X_i(0)$ 的记忆 $M_i(0) = (m_{i1}(0), m_{i2}(0), \dots, m_{id}(0))$, 即 $M_i(0) = X_i(0)$, $1 \leq i \leq N$;
- 4 for $t \leftarrow 1$ to MIT do
- 5 for $i \leftarrow 1$ to N do
- 6 $j \leftarrow rand[1, N]$;
- 7 if $rand_1(0, 1) > AP$ then
- 8 for $k \leftarrow 1$ to d do
- 9 根据公式(4)更新乌鸦 $X_i(t+1)$ 的位置;
- 10 end for
- 11 else
- 12 for $k \leftarrow 1$ to d do
- 13 根据公式(5)更新乌鸦 $X_i(t+1)$ 的位置;
- 14 end for
- 15 end if
- 16 利用公式(8)对乌鸦的位置进行离散化;
- 17 计算 $f(X_i(t+1))$ 用于评价新个体 $X_i(t+1)$, $1 \leq i \leq N$, 确定最优个体 B ;
- 18 利用公式(7)更新乌鸦 $M_i(t+1)$ 的记忆值;
- 19 end for
- 20 end for
- 21 return $(B, f(B))$ 。

4. 利用 BCSA 求解 0-1KP

4.1. 个体编码与处理不可行解

在 BCSA 中, 个体编码为 $Y_i = [y_{i1}, y_{i2}, \dots, y_{id}] \in [lb, ub]^d$, 利用转换函数转换为 $X_i = [x_{i1}, x_{i2}, \dots, x_{id}] \in \{0,1\}^d$, $x_{i1} = 1$ 表示物品被选择放入背包, 反之, 没有放入背包。

由于 CSA 中乌鸦的位置是由随机生成的向量决定的, 解空间中会不可避免地出现不可行解, 这就导致无法根据目标函数值来判断个体的适应性。一般而言, 修复法、惩罚函数法以及修复和优化策略常常用来解决不可行解。本文采用了文献[1]中提出的修复优化方法(GROA)来解决过程中出现的不可行解的问

题。

4.2. 求解过程以及算法流程图

采用 BCSA 算法求解 0-1KP 的具体步骤如下：首先需要对每个物品进行价值密度降序，并将排序后的结果保存在一维数组中；将乌鸦种群初始化为 0-1 向量，再利用 GROA 对种群中每个个体进行修复优化并排序，完成对乌鸦记忆的初始化；然后重复以下过程直到满足终止条件：随机选择一只乌鸦 j 进行跟踪，在感知概率一定的条件下，通过公式(6)对乌鸦的位置进行更新，利用传递函数进行离散化；接着利用 GROA 修复不可行解；通过公式(7)更新乌鸦记忆值；最后将最优解 B 输出。具体算法流程如图 1 所示。

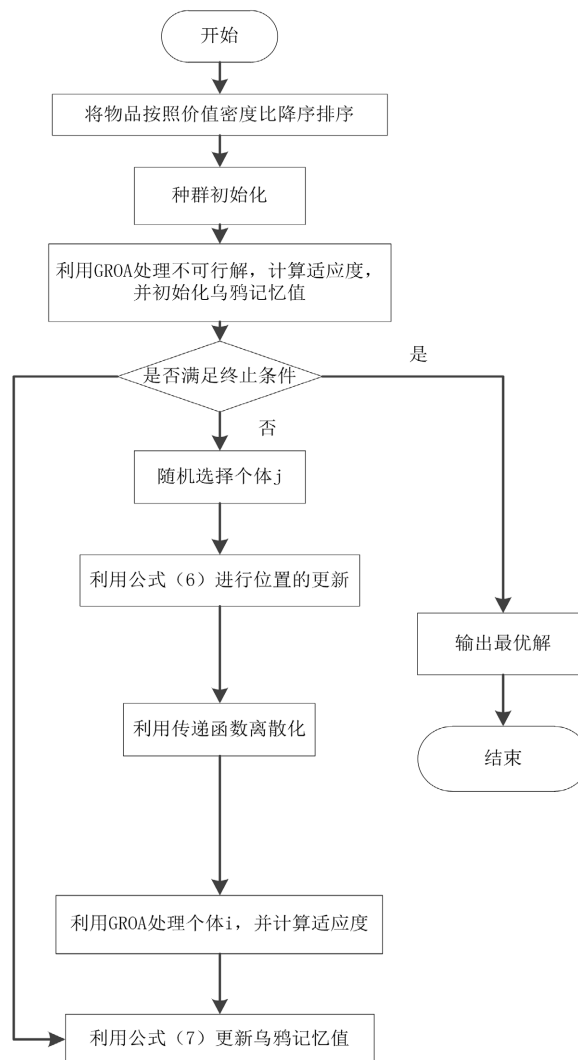


Figure 1. Flow chart of algorithm BCSA for solving 0-1KP

图 1. 算法 BCSA 求解 0-1KP 的流程图

5. 计算结果与分析

本次实验所用的微型计算机：惠普笔记本，硬件环境为 Intel(R) Core(TM) i7-10750H CPU @ 2.60 GHz

2.59 GHz, 操作系统为 Microsoft Windows 10。在 Microsoft Visual Studio 2017 编译环境中使用 C 语言编程。

5.1. 0-1KP 实例与算法参数

实例可从 <https://pages.mtu.edu/~kreher/cages/Data.html> 获取。为了验证 BCSA 的性能, 与求解相同实例的算法进行比较, 这 7 个算法分别为: BTSA [8]、BHHO [9]、BWOA [10]、BFFA [11]、BPSO [12]、BTLBO [13]、BAOA [14], 具体数据请查阅相关文献获取。

5.2. BCSA 与其他算法的比较

本节中, 将其他 7 个算法求解 0-1KP 的计算结果与 BCSA 的计算结果进行了比较; AVE 和 STD 分别表示测试 50 次计算结果的平均值和标准差, 其中未达到 OPT 的用蓝色标示; 各算法的求解结果在表 1、表 2 中给出。

由以下两表可知, BCSA 在求解 25 个实例的结果中, 就平均值来说, 有 24 个实例能够达到最优值, BFFA 和 BHHO 表现较差仅有 18 个实例达到最优, BCSA 在 8 个算法中的排名第一; 就标准差来说, BCSA 在 25 个实例中, 除了 KP24d, 其他实例的标准差都为 0, 而其他算法都存在较大的标准差。BCSA 在求解精度以及算法稳定性方面远超其他算法。

Table 1. Results comparison for solving KP8a-KP12e instances

表 1. 求解 KP8a-KP12e 实例的结果比较

实例	OPT	Results	BCSA	BHHO	BWOA	BTSA	BFFA	BPSO	BTLBO	BAOA
KP8a	3924400	AVG	3924400	3924400	3924400	3924400	3924400	3924400	3924400	3924400
		STD	0.00	0.00	0.00	0.00	0.00	0.00	0.00	0.00
KP8b	3813669	AVG	3813669	3813669	3807966	3801149	3813669	3813669	3813669	3810772
		STD	0.00	0.00	12514.7	19113.5	0.00	0.00	0.00	10364.8
KP8c	3347452	AVG	3347452	3347452	3347452	3347452	3347452	3347452	3347452	3347452
		STD	0.00	0.00	0.00	0.00	0.00	0.00	0.00	0.00
KP8d	4187707	AVG	4187707	4187707	4187707	4187707	4187707	4187707	4187707	4187707
		STD	0.00	0.00	0.00	0.00	0.00	0.00	0.00	0.00
KP8e	4955555	AVG	4955555	4955555	4955555	4955555	4955555	4955555	4955555	4955555
		STD	0.00	0.00	0.00	0.00	0.00	0.00	0.00	0.00
KP12a	5688887	AVG	5688887	5688887	5684058	5682416	5688887	5688887	5686770	5688887
		STD	0.00	0.00	8691.12	8957.64	0.00	0.00	5847.92	0.00
KP12b	6498597	AVG	6498597	6496784	6485297	6498597	6490848	6498597	6497582	6498597
		STD	0.00	9133.17	10761.9	0.00	8958.91	0.00	8925.34	0.00
KP12c	5170626	AVG	5170626	5170626	5170626	5170626	5170626	5170626	5170626	5170626
		STD	0.00	0.00	0.00	0.00	0.00	0.00	0.00	0.00
KP12d	6992404	AVG	6992404	6992404	6992404	6992404	6925856	6992404	6992404	6939908
		STD	0.00	0.00	0.00	0.00	24685.4	0.00	0.00	2764.2
KP12e	5337472	AVG	5337472	5337472	5337472	5337472	5337472	5337472	5337472	5337472
		STD	0.00	0.00	0.00	0.00	0.00	0.00	0.00	0.00

Table 2. Results comparison for solving KP16a-KP24e instances
表 2. 求解 KP16a-KP24e 实例的结果比较

实例	OPT	Results	BCSA	BHHO	BWOA	BTSA	BFFA	BPSO	BTLBO	BAOA
KP16a	7850983	AVG	7850983	7850983	7840213	7831459	7850983	7850983	7846097	7850983
		STD	0.00	0.00	5067.47	3075.66	0.00	0.00	2941.28	0.00
KP16b	9352998	AVG	9352998	9352998	9352998	9332841	9352998	9352998	9352998	9352998
		STD	0.00	0.00	0.00	44347.16	0.00	0.00	0.00	0.00
KP16c	9151147	AVG	9151147	9140752.5	9151147	9151147	9146921	9151147	9151147	9145012.5
		STD	0.00	664.81	0.00	0.00	347.25	0.00	0.00	491.49
KP16d	9348889	AVG	9348889	9348889	9348889	9348889	9348889	9348889	9348889	9348889
		STD	0.00	0.00	0.00	0.00	0.00	0.00	0.00	0.00
KP16e	7769117	AVG	7769117	7769117	7769117	7762520	7769117	7769117	7769117	7769117
		STD	0.00	0.00	0.00	18471.25	0.00	0.00	0.00	0.00
KP20a	10727049	AVG	10727049	10727049	10708475	10727049	10716934	10727049	10719049	10716101
		STD	0.00	0.00	13971.41	0.00	12136.09	0.00	11524.82	11579.37
KP20b	9818261	AVG	9818261	9818261	9818261	9814002	9818261	9818261	9818261	9818261
		STD	0.00	0.00	0.00	236.17	0.00	0.00	0.00	0.00
KP20c	10714023	AVG	10714023	10713149	10714023	10714023	10712972	10714023	10714023	10714023
		STD	0.00	701.52	0.00	0.00	756.27	0.00	0.00	0.00
KP20d	8929156	AVG	8929156	8924769.3	8926581	8929156	8929156	8920933.5	8924843.2	8927679.4
		STD	0.00	6571.63	5343.29	0.00	0.00	7017.74	5987.25	6249.38
KP20e	9357969	AVG	9357969	9357969	9357528	9357969	9357328	9357969	9357969	9357969
		STD	0.00	0.00	402.67	0.00	441.87	0.00	0.00	0.00
KP24a	13549094	AVG	13549094	13546249	13549094	13549094	13549094	13544128	13549094	13547058
		STD	0.00	6476.52	0.00	0.00	0.00	7096.16	0.00	5941.82
KP24b	12233713	AVG	12233713	12233713	12233713	12233713	12218247	12233713	12229036	12233713
		STD	0.00	0.00	0.00	0.00	1647.24	0.00	954.67	0.00
KP24c	12448780	AVG	12448780	12448780	12436134	12448780	12439116	12448780	12448780	12448780
		STD	0.00	0.00	3046.73	0.00	2708.82	0.00	0.00	0.00
KP24d	11815315	AVG	11814367	11814208	11811112	11814108	11811928	11811719	11812994	11814072
		STD	2022.36	2845.32	2782.64	3189.27	2934.46	3069.79	2743.74	3058.82
KP24e	13940099	AVG	13940099	13933743	13940099	13940099	13940099	13927628	13940099	13938971
		STD	0.00	13901.22	0.00	0.00	0.00	15569.45	0.00	11969.53

6. 总结与展望

本文提出了一种以 S 型传递函数为基础的二进制乌鸦搜索算法 BCSA，该算法可以有效地解决各类二元优化问题。通过对 25 个大规模 0-1KP 实例运用 BCSA 进行求解，与 7 种算法的求解结果进行比较，以此验证 BCSA 求解 0-1KP 的能力。经计算结果可知，BCSA 在解 0-1KP 问题时，具备较高的精确度和

稳定性, 因此可以极大地提升解决这一问题的效率。此外, 深入研究 BCSA 在其他组合优化问题(例如集合覆盖)的应用以及更加高效的离散化方法, 也是值得我们持续探索的课题。

基金项目

河北省自然科学基金项目(项目编号: F2020403013), 河北省高等学校科学技术研究项目(项目编号: ZD2021016)。

参考文献

- [1] 王熙照, 贺毅朝. 求解背包问题的演化算法[J]. 软件学报, 2017, 28(1): 1-16.
- [2] 贺毅朝, 李泽文, 李焕哲, 等. 离散灰狼优化算法求解有界背包问题[J]. 计算机工程与设计, 2019, 40(4): 1008-1015.
- [3] Peng, H., Wu, Z.J., Shao, P. and Deng, C.S. (2016) Dichotomous Binary Differential Evolution for Knapsack Problems. *Mathematical Problems in Engineering*, **2016**, Article ID: 5732489. <https://doi.org/10.1155/2016/5732489>
- [4] Müller, S., Al-Shatri, H., Wichtlhuber, M., Hausheer, D. and Klein, A. (2015) Computation Offloading in Wireless Multi-Hop Networks: Energy Minimization via Multi-Dimensional Knapsack Problem. *2015 IEEE 26th Annual International Symposium on Personal, Indoor, and Mobile Radio Communications (PIMRC)*, Hong Kong, 30 August-2 September 2015, 1717-1722. <https://doi.org/10.1109/PIMRC.2015.7343576>
- [5] Song, H.J., Liang, C.G. and Can, G.G. (1999) Solving the 0/1-Knapsack Problem on Quantum Computer. *Chinese Journal of Computers*, **12**, 1314-1316.
- [6] Askarzadeh, A. (2016) A Novel Metaheuristic Method for Solving Constrained Engineering Optimization Problems: Crow Search Algorithm. *Computers & Structures*, **169**, 1-12. <https://doi.org/10.1016/j.compstruc.2016.03.001>
- [7] 刘雪静, 贺毅朝, 路凤佳, 等. 基于 Lévy 飞行的差分乌鸦算法求解折扣{0-1}背包问题[J]. 计算机应用, 2018, 38(2): 433-442.
- [8] Kaur, S., Awasthi, L.K., Sangal, A.L. and Dhiman, G. (2020) Tunicate Swarm Algorithm: A New Bio-Inspired Based Metaheuristic Paradigm for Global Optimization. *Engineering Applications of Artificial Intelligence*, **90**, Article ID: 103541. <https://doi.org/10.1016/j.engappai.2020.103541>
- [9] Heidari, A.A., Mirjalili, S., Faris, H., et al. (2019) Harris Hawks Optimization: Algorithm and Applications. *Future Generation Computer Systems*, **97**, 849-872. <https://doi.org/10.1016/j.future.2019.02.028>
- [10] Mirjalili, S. and Lewis, A. (2016) The Whale Optimization Algorithm. *Advances in Engineering Software*, **95**, 51-67. <https://doi.org/10.1016/j.advengsoft.2016.01.008>
- [11] Shayanfar, H. and Gharehchopogh, F.S. (2018) Farmland Fertility: A New Metaheuristic Algorithm for Solving Continuous Optimization Problems. *Applied Soft Computing*, **71**, 728-746. <https://doi.org/10.1016/j.asoc.2018.07.033>
- [12] Kennedy, J. and Eberhart, R. (1995) Particle Swarm Optimization. *Proceedings of ICNN'95—International Conference on Neural Networks*, Perth, 27 November-1 December 1995, 1942-1948. <https://doi.org/10.1109/ICNN.1995.488968>
- [13] Rao, R.V., Savsani, V.J. and Vakharia, D.P. (2011) Teaching-Learning-Based Optimization: A Novel Method for Constrained Mechanical Design Optimization Problems. *Computer-Aided Design*, **43**, 303-315. <https://doi.org/10.1016/j.cad.2010.12.015>
- [14] Hashim, F.A., Hussain, K., Houssein, E.H., Mabrouk, M.S. and Al-Atabany, W. (2021) Archimedes Optimization Algorithm: A New Metaheuristic Algorithm for Solving Optimization Problems. *Applied Intelligence*, **51**, 1531-1551. <https://doi.org/10.1007/s10489-020-01893-z>